

ГРАНИЧНЫЕ СКОРОСТИ СИСТЕМ АКТИВНОЙ БЕЗОПАСНОСТИ АВТОМОБИЛЯ

С.Е. Бузников, П.В. Тамбулатов, Н.С. Шабанов

**Московский государственный институт электроники и математики
(технический университет) – МИЭМ**

Задача предотвращения столкновений автомобиля с препятствиями сводится к динамической стабилизации состояния объекта управления. Динамические границы переменных состояния определяются из достаточных условий предотвращения типовых столкновений структурированного множества. В работе приводятся результаты исследования динамических границ скорости центра масс автомобиля, необходимых для предотвращения более 70% типовых столкновений.

Ключевые слова: активная безопасность автомобиля, интеллектуальные системы.

Одним из наиболее перспективных направлений решения проблемы безопасности дорожного движения является создание различных систем активной безопасности автомобиля.

Задача оптимального управления на конечном интервале $t_2 \div t_1$ для систем активной безопасности формулируется как задача минимизации модифицированного квадратичного функционала качества управления [1].

Решением этой задачи являются управляющие воздействия $U(t) \in U_{\text{оп}}$, формируемые в программно-аппаратной среде $R \in R_{\text{оп}}$. Минимум классического квадратичного функционала качества управления достигается в задачах Больца и Лагранжа при выполнении неравенств вида: $X_{i,p}^H(X,t) \leq X_i(t) \leq X_{i,p}^B(X,t)$, $1 \leq i \leq n$, где $X_{i,p}^B(X,t)$ и $X_{i,p}^H(X,t)$ определяется из условий предотвращения типовых столкновений.

Наращивание функций и увеличение числа предотвращаемых столкновений ограничивается как отсутствием необходимого набора датчиков первичной информации, так и значительным увеличением стоимости систем, построенных по традиционным схемам.

Минимизация аддитивной составляющей потерь на управление в квадратичном функционале предполагает автоматизацию формирования компонент вектора

Бузников Сергей Евгеньевич – МИЭМ, канд. техн. наук, доцент, дом. тел. (495) 710-15-10, e-mail: buznikof@mail.ru
Тамбулатов Павел Вадимович – МИЭМ, аспирант, моб. тел. 8-926-129-49-62, e-mail: tamb-pv@yandex.ru

Шабанов Николай Сергеевич – МИЭМ, аспирант, дом. тел. (499) 188-24-76, e-mail: nshab@mail.ru

$U = (U_1, U_2, U_3)^T$ без участия водителя [2].
Данный эффект достигается путем автоматического управления трансмиссией, двигателем и тормозами. В число ограничений, формирующих функцию потерь в квадратичном функционале, для технически исправного автомобиля входят граничные скорости, определяемые из достаточных условий предотвращения типовых столкновений из структурированного множества столкновений. К их числу относятся граничные скорости опрокидывания $V_{\text{р1}}^{\text{B}}$, заноса $V_{\text{р2}}^{\text{B}}$ и сноса колес $V_{\text{р3}}^{\text{B}}$, разрыва корда шин $V_{\text{р4}}^{\text{B}}$, пробуксовки ведущих колес $V_{\text{р5}}^{\text{B}}$, а также скорости, определяемые асимметрией колесных пар $V_{\text{р6}}^{\text{B}}$, аварийным перегревом тормозов $V_{\text{р7}}^{\text{B}}$, уровнем допустимых вибраций в салоне автомобиля $V_{\text{р8}}^{\text{B}}$ и др.

$V_{\text{р1}}^{\text{B}}(t) = \sqrt{0.5abgh_m^{-1}|\psi_c(t)|^{-1}}$ – граничная скорость опрокидывания автомобиля;

$V_{\text{р2}}^{\text{B}}(t) = \sqrt{[2(m_3 + m_4)m_0^{-1}gb + R_d a_d] k_{sq} |\psi_c(t)|^{-1}}$ – граничная скорость заноса задних колес;

$V_{\text{р3}}^{\text{B}}(t) = \sqrt{[2(m_1 + m_2)m_0^{-1}gb - R_d a_d] k_{sq} |\psi_c(t)|^{-1}}$ – граничная скорость сноса передних колес;

k_{sq} – коэффициент трения скольжения шин в поперечном направлении; h_m – высота центра масс автомобиля.

$V_{\text{р4}}^{\text{B}}(t) = \min \{V_{\text{р41}}^{\text{B}}, V_{\text{р42}}^{\text{B}}, V_{\text{р43}}^{\text{B}}, V_{\text{р44}}^{\text{B}}\}$; – граничная скорость разрыва корда шины с учетом значений износов кордов, давлений и марки шин;

$$V_{\text{р4i}}^{\text{B}} = -0.5k_{\text{r}} k_{\text{vi}}^{-1} + \\ + \operatorname{Re} \sqrt{(0.5k_{\text{r}} k_{\text{vi}}^{-1})^2 + [\Delta R_{\text{кz}} - \Delta R_{\text{ki}} - k_{\text{pi}} P_{\text{iH}}](k_{\text{r}} k_{\text{vi}})^{-1}};$$

$\Delta R_{k,p} = [k_{pi} P_H + k_{pi} k_{Ti} V_T + k_{pi} k_{Ti} V_T^2]$ – граничное значение зоны упругих деформаций корда шины; V_T – скорость, определяемая по скоростному индексу шин; ΔR_{ki} – износ корда i -ой шины;

k_{pj} – коэффициент линейного расширения шины в зоне упругих деформаций; k_{Tj} – коэффициент тепловой составляющей давления; k_{Vi} – коэффициент влияния центробежной силы при вращении шины; R_{Ci} – свободный радиус i -го колеса с шириной профиля l_n ; P_{ni} – номинальное значение давления в i -ойшине.

На рис.1 изображены результаты моделирования системы динамической стабилизации скорости автомобиля:

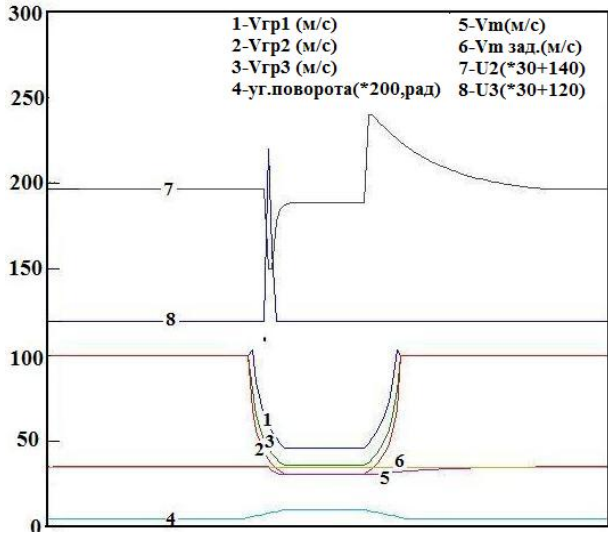


Рис.1. Результаты моделирования системы динамической стабилизации скорости автомобиля

$V_{rp5}^B(t) = \text{Re} \sqrt{k_x^{-1} m_0 g [a_s^B(0) g^{-1} - k_{mp} - \alpha_m]} -$ граничная скорость пробуксовки ведущих колес;

Граничная скорость $V_{rp6}^B(t)$ определяемая асимметрией осевых колесных пар, приводящей к возникновению дополнительного момента в рулевой трапеции, определяется из условия полной остановки на дистанции L_c с граничным замедлением $a_{\tau_{rp}}$: $V_{rp6}(t) = \sqrt{2L_c a_{\tau_{rp}}}$, где $a_{\tau_{rp}} = \min\{a_{\tau_{rp1}}, a_{\tau_{rp2}}\}$, $a_{\tau_{rp1}} = C |\Delta P_{12}|^{-1}$, $a_{\tau_{rp1}} \approx k_s^* g$;

На рис. 2 приведены граничные скорости V_{rp6}^B и граничного замедления $a_{\tau_{rp}}$ от разности

давлений $|\Delta P_{12}|$ в осевой паре управляемых колес при $L_c = 80$ м, $k_s^* = 1$, $C=2,5$.

$V_{rp7}(t) = \min[V_{rp71}(t), V_{rp72}(t), V_{rp73}(t), V_{rp74}(t)]$ – граничная скорость аварийного перегрева тормозов, где $V_{rp7i}(t) = \text{Re} \sqrt{H_i^* [y_{rp} - y_i(t)]}$, y_{rp} – температура закипания тормозной жидкости; $y_i(t)$ – температура перегрева тормозов i -го колеса.

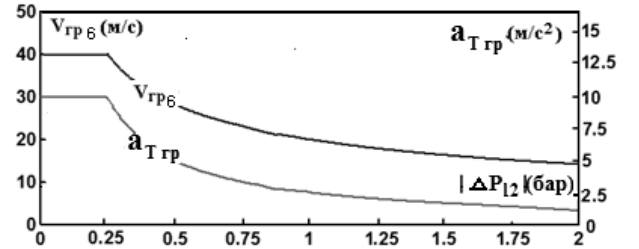


Рис.2. Зависимости граничной скорости V_{rp6}^B и граничного замедления $a_{\tau_{rp}}$ от разности давлений $|\Delta P_{12}|$ в осевой паре управляемых колес

В качестве математической модели нагрева тормозов [3] используется система дифференциальных уравнений первого закона термодинамики:

$$T_{hi} \frac{dy_i}{dt} + y_i = H_i \cdot U_{zi}(t), \quad 1 \leq i \leq 4, \text{ где } (1)$$

$T_{hi} = C_{ni} \cdot C_{oi}^{-1}$ – постоянная времени нагрева и охлаждения тормозов i -го колеса;

C_{ni} и C_{oi} – константы теплоемкости и теплообмена i -го колеса; $H_i = C_{oi}^{-1} \cdot k_{zi} \cdot R_{di} \cdot R_{Ci}^{-1}$; k_{zi} – коэффициент усиления тормозов i -го колеса;

R_{Ci} и R_{di} – свободный и динамический радиусы i -го колеса;

$y_i = (T_i - T_{oc})$ – температура перегрева тормозов i -го колеса;

T_i и T_{oc} – соответственно температуры тормозов i -го колеса и окружающей среды;

$V_i(t)$ – линейная скорость вращения i -го колеса;

$U_{zi}(t)$ – тормозное управляющее воздействие на i -ом колесе.

Приближенное решение (1) при допущении $T_{hi} \gg 1$ в режиме торможения ($U_{zi} > 0$) до полной остановки ($V_i = 0$) с замедлением $a_t > 0$ приводится к виду:

$$y_i(t_s) = y_i(t) + 0.5 \cdot a_t^{-1} \cdot V_i^2(t) \cdot T_{hi}^{-1} \cdot H_i \cdot U_{zi}.$$

Принимая $y_i(t_s) = y_{\text{tp}}^e$, $V_i(t) = V_{\text{tpi}}^e(t)$,
 $U_{3i} = U_3$ и $a_T = m_0^{-1} \sum_{i=1}^4 k_{3i} U_3$, получим:

$$V_{\text{tpi}}^e(t) = \operatorname{Re} \sqrt{H_i^* \cdot [y_{\text{tp}}^e - y_i(t)]};$$

$$H_i^* = 2C_n R_{di}^{-1} R_{ci} m_0^{-1} k_{3i}^{-1} \sum_{i=1}^4 k_{3i}$$

С учетом продольных скольжений колес

$$S_i = \Delta V_{Si} \cdot V_m^{-1}; V_i = V_m \cdot (1 + S_i) \text{ и}$$

$$V_{\text{tp7i}}^e(t) = (1 + S_i)^{-1} \cdot \operatorname{Re} \sqrt{H_i^* \cdot [y_{\text{tp}}^e - y_i(t)]}.$$

Результирующая граница скорости аварийного перегрева тормозов определяется как минимальная из граничных скоростей перегрева тормозных устройств:

$$V_{\text{tp7}}^B(t) = \min\{V_{\text{tp71}}^B(t), V_{\text{tp72}}^B(t), V_{\text{tp73}}^B(t), V_{\text{tp74}}^B(t)\}.$$

На рис. 3 приведены зависимости граничной скорости аварийного перегрева тормозов $V_{\text{tp7}}^B(t)$ автомобиля Mercedes-Benz E240T от температуры перегрева тормозов y_i для торможения с нулевым скольжением колес $S_i = 0$ и $S_i = -0.3$ на границе блокирования колес в случае использования синтетической тормозной жидкости DOT-4 с температурой кипения 265°C и $T_{oc} = 0^\circ\text{C}$.

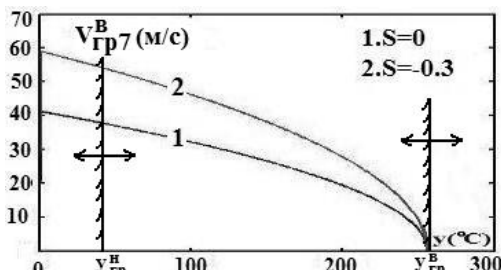


Рис.3. Зависимость $V_{\text{tp7}}(t)$ от температуры перегрева тормозов.

Физическая интерпретация $V_{\text{tp7}}(t)$ означает, что торможение со скоростями, превышающими граничную, будет сопровождаться увеличением температур перегрева тормозов, превышающих аварийное значение, и, как следствие, закипанием тормозной жидкости в тормозных цилиндрах. В этом случае повторное торможение со значительным замедлением становится невозможным.

Результаты проведенных исследований позволяют сформулировать следующие выводы:

– анализ полученных уравнений граничных скоростей позволяет определить вектор значимых переменных состояния в задаче динамической стабилизации;

– применение виртуальных датчиков информации, основанных на использовании математических моделей объекта, позволяет формировать адекватные оценки переменных в минимальной конфигурации используемых технических средств;

– предлагаемое решение задачи динамической стабилизации соответствует минимуму модифицированного функционала качества управления, достигаемому за счет минимизации всех его слагаемых.

Литература

1. Бузников С.Е. Принципы построения рекордных автомобильных систем активной безопасности. Труды XIV Международной конференции «Проблемы управления безопасностью сложных систем» - М.: Изд-во РГГУ, 2006. – С. 506 –507.

2. Бузников С.Е., Тамбулатов П.В. Моделирование автомобильной системы круиз-контроля с расширенным вектором состояния и управления. Труды XVIII Международной конференции «Проблемы управления безопасностью сложных систем» - М.: Изд-во РГГУ, 2010. – С. 380 –384.

3. Бузников С.Е., Шабанов Н.С. Виртуальные датчики нагрева шин и тормозов автомобиля // Ежемесячный научно-технический и производственный журнал «Датчики и системы» – 2009 – №8 (123) – С.21–25.